



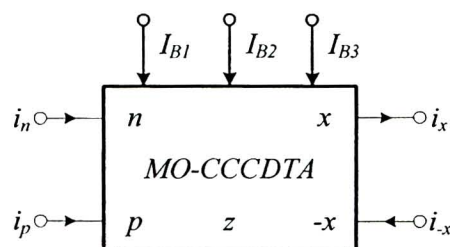
บทที่ 3

การสังเคราะห์และออกแบบวงจร

หลังจากที่ได้มีศึกษาทฤษฎีและเอกสารที่เกี่ยวข้องในบทที่ 2 แล้ว ในบทนี้ จะได้กล่าวถึง การสังเคราะห์ และออกแบบวงจรชนิดต์ที่ริบิกเกอร์ที่ใช้ วงจรขยายความนำถ่าย โอนผลต่างกระแสที่สามารถควบคุมด้วยกระแสแบบหลายเอ่าต์พุต (Multiple output current controlled current differencing transconductance amplifier: MO-CCCDTA) โดยมีจุดประสงค์หลักคือ วงจรต้อง ทำงานในโหมดกระแส สามารถควบคุมขนาด กระแสขีดเริ่มด้านสูงและต่ำ ได้ด้วยวิธีทาง อิเล็กทรอนิกส์และเป็นอิสระจากกัน และต้องสามารถทำหน้าที่เป็นวงจรชนิดต์ที่ริบิกเกอร์แบบตาม เก็บและหวนเข็มนาฬิกาในโครงสร้างเดียวกัน โดยปราศจากอุปกรณ์พิเศษใดๆ

ในบทนี้ประกอบด้วย หลักการพื้นฐานของวงจรขยายความนำถ่าย โอนผลต่างกระแสที่สามารถควบคุมด้วยกระแสแบบหลายเอ่าต์พุตที่ทำงานสภาพะอิมตัว ที่ใช้เทคโนโลยีในโพลาร์ ทรานซิสเตอร์ การวิเคราะห์สมรรถนะของวงจร ตลอดจนมีการทดสอบการทำงานของวงจร โดยใช้ โปรแกรมคอมพิวเตอร์ สุดท้ายคือ การสรุปและวิเคราะห์ผลที่ได้

3.1 หลักการทำงานของ MO-CCCDTA ที่ทำงานในสภาพะอิมตัว



ภาพที่ 3-1 การต่อ MO-CCCDTA ให้อยู่ในสภาพะอิมตัว

MO-CCCDTA เป็น CC-CDTA ชนิดหนึ่ง โดยมีการคัดแปลงให้มีขั้ว x และ -x ที่สามารถปรับค่าความนำถ่ายโอนได้อิสระจากกัน ด้วยกระแสไบแอดส์เพื่อให้วงจรแอนะลอกในโหมดกระแสที่ทำงานสภาวะอิมตัวที่ออกแบบ สามารถทำงานได้ตามวัตถุประสงค์ของการวิจัย

เนื่องด้วยในงานวิจัยนี้ใช้หลักการทำงานของ MO-CCCDTA ที่อยู่ในสภาวะอิมตัว ดังนั้นในหัวข้อนี้ จึงขอธิบายหลักการทำงานของ MO-CCCDTA ในสภาวะอิมตัว เมื่อพิจารณาคุณสมบัติของ MO-CCCDTA ที่ทำงานในช่วงเชิงเส้น กระแสที่ขั้ว x และ -x หาก้าได้จาก

$$i_x = I_{B2} \tanh\left(\frac{v_z}{2V_T}\right) \quad (3-1)$$

และ

$$i_{-x} = I_{B3} \tanh\left(\frac{v_z}{2V_T}\right) \quad (3-2)$$

ถ้าloyที่ขั้ว z และป้อนกระแสที่ขั้ว p หรือ n ดังแสดงในภาพที่ 3-1 ทำให้แรงดันที่ขั้ว z มีค่าดังนี้

$$v_z \approx \begin{cases} V_{CC} & \text{if } i_p \geq i_n \\ V_{EE} & \text{if } i_p \leq i_n \end{cases} \quad (3-3)$$

เมื่อ V_{CC} และ V_{EE} คือ แหล่งจ่ายไฟค้านบวกและลบของ MO-CCCDTA

จากสมการที่ (3-3) จะเห็นได้ว่า $v_z \approx V_{CC}$ หรือ $v_z \approx V_{EE}$ ซึ่ง $v_z \gg 2V_T$ ดังนั้นพจน์ $\tanh\left(\frac{v_z}{2V_T}\right)$ ของสมการที่ (3-1) และ (3-2) สามารถประมาณค่าได้ดังนี้

$$\tanh\frac{v_z}{2V_T} \approx \begin{cases} 1 & \text{if } v_z \approx V_{CC} \\ -1 & \text{if } v_z \approx V_{EE} \end{cases} \quad (3-4)$$

ดังนั้นสามารถเขียนสมการที่ (3-1) และ (3-2) ใหม่ได้ดังนี้

$$i_x = \begin{cases} I_{B2} & \text{if } i_p \geq i_n \\ -I_{B2} & \text{if } i_p \leq i_n \end{cases} \quad (3-5)$$

และ

$$i_{-x} = \begin{cases} -I_{B3} & \text{if } i_p \geq i_n \\ I_{B3} & \text{if } i_p \leq i_n \end{cases} \quad (3-6)$$

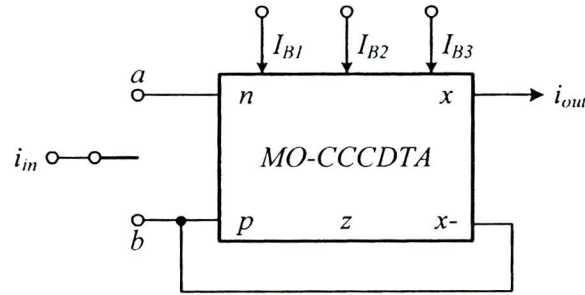
จากสมการที่ (3-3)-(3-6) สามารถสรุปได้ว่าเมื่อ $|V_p|$ ใหญ่เท่ากับ $2V_T$ มากๆ ดังนั้นลักษณะสมบัติของ MO-CCCDTA ที่ทำงานในสภาวะอิ่มตัวสามารถแสดงด้วยสมการในเชิงเมตริกซ์ได้ดังนี้

$$\begin{bmatrix} V_p \\ V_n \\ I_z \\ I_x \\ I_{-x} \end{bmatrix} = \begin{bmatrix} R_p & 0 & 0 & 0 & 0 \\ 0 & R_n & 0 & 0 & 0 \\ 1 & -1 & 0 & 0 & 0 \\ 0 & 0 & 0 & \pm 1 & 0 \\ 0 & 0 & 0 & 0 & \pm 1 \end{bmatrix} \begin{bmatrix} I_p \\ I_n \\ V_x \\ I_{B2} \\ I_{B3} \end{bmatrix} \quad (3-7)$$

เมื่อ $|V_z| \gg 2V_T$ หรือ $|V_z| \gg 2V_T$

3.2 การสังเคราะห์วงจรชนิตต์ทริกเกอร์ที่ใช้ MO-CCCDTA

เพื่อให้วงจรที่ได้ออกแบบขึ้นมีจำนวนอุปกรณ์แอคทีฟที่ใช้น้อยที่สุดและปราศจากอุปกรณ์พาเซชีฟใดๆ ซึ่งจะส่งผลต่อการบริโภคกำลังไฟฟ้าที่ต่ำลง โดยจะทำให้ชิปไอซีมีขนาดเล็กลง เมื่อได้รับการพัฒนาไปผลิตเป็นวงจรรวม อีกทั้งวงจรที่ออกแบบต้องถูกควบคุมได้ด้วยวิธีทางอิเล็กทรอนิกส์ เพื่อจะได้จำกัดต่อการนำไปใช้ในระบบอิเล็กทรอนิกส์สมัยใหม่ จากแนวคิดข้างต้นดังกล่าวนี้ จึงได้ออกแบบวงจรชนิตต์ทริกเกอร์ดังภาพที่ 3-2



ภาพที่ 3-2 โครงสร้างของวงจรชัมิตต์ทริกเกอร์

3.2.1 วงจรชัมิตต์ทริกเกอร์แบบตามเข็มนาฬิกาที่ใช้ MO-CCCDTA

จากภาพที่ 3-2 เมื่อสวิตซ์อยู่ตำแหน่ง a วงจรจะทำงานเป็นวงจรชัมิตต์ทริกเกอร์แบบตามเข็มนาฬิกา และใช้คุณสมบัติของ MO-CCCDTA ที่ทำงานในสภาวะอิ่มตัวที่กล่าวไว้ในหัวข้อที่ 3.1 จะได้กระแสอาต์พุดังนี้

$$i_{out} = \begin{cases} -I_{B2} & \text{if } i_m \geq i_{-x} \\ I_{B2} & \text{if } i_m \leq i_{-x} \end{cases} \quad (3-8)$$

สำหรับกระแสขีดเริ่ม (Threshold current) คือกระแสไปแอกซอง MO-CCDTA ซึ่งกระแสขีดเริ่มทางด้านสูง (I_{TH}) และทางด้านต่ำ (I_{TL}) จะถูกกำหนดได้จากกระแสไปแอกซองนี้

$$I_{TH} = I_{B3} \quad (3-9)$$

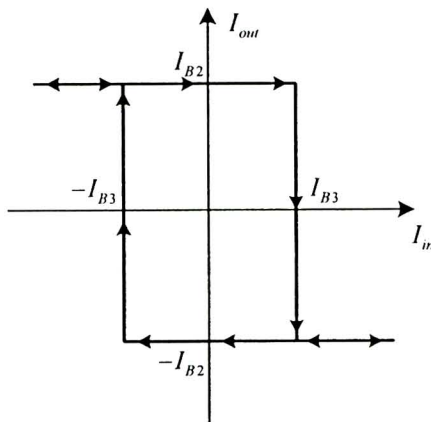
และ

$$I_{TL} = -I_{B3} \quad (3-10)$$

จากสมการที่ (3-9) และ (3-10) สามารถเขียนสมการกระแสเอาต์พุตได้ใหม่ดังนี้

$$i_{out} = \begin{cases} -I_{B2} & \text{if } i_m \geq I_{TH} \\ I_{B2} & \text{if } i_m \leq I_{TL} \end{cases} \quad (3-11)$$

จากสมการที่ (3-9)-(3-11) พบว่าขนาดของกระแสเอาต์พุตและกระแสขีดเริ่มจะสามารถควบคุมได้ด้วยกระแสไบเอส I_{B2} และ I_{B3} ตามลำดับ ส่วนภาพที่ 3-3 แสดงลักษณะสมบัติถ่ายโอนของวงจรชัมมิต์ทริกเกอร์แบบตามเข็มนาฬิกา



ภาพที่ 3-3 กราฟลักษณะสมบัติถ่ายโอนของวงจรชัมมิต์ทริกเกอร์แบบตามเข็มนาฬิกา

3.2.2 วงจรชัมมิต์ทริกเกอร์แบบทวนเข็มนาฬิกาที่ใช้ MO-CCCDTA

ถ้าดำเนินการของสวิตซ์ในภาพที่ 3-2 อยู่ที่ตำแหน่ง b วงจรจะทำหน้าที่เป็นวงจรชัมมิต์ทริกเกอร์แบบทวนเข็มนาฬิกา เมื่อพิจารณาขนาดของกระแสเอาต์พุต กระแสขีดเริ่มด้านสูงและต่ำหาค่าได้จาก

$$i_{out} = \begin{cases} I_{B2} & \text{if } i_m \geq i_{-x} \\ -I_{B2} & \text{if } i_m \leq i_{-x} \end{cases} \quad (3-12)$$

$$I_{TH} = I_{B3} \quad (3-13)$$

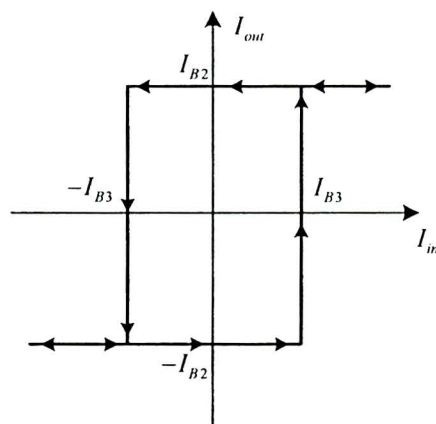
และ

$$I_{TL} = -I_{B3} \quad (3-14)$$

ดังนั้นสามารถเขียนสมการของขนาดกระแสเอาต์พุตที่สัมพันธ์กับกระแสขีดเริ่มค้านสูงและต่ำได้ดังนี้

$$i_{out} = \begin{cases} I_{B2} & \text{if } i_m \geq I_{TH} \\ -I_{B2} & \text{if } i_m \leq I_{TL} \end{cases} \quad (3-15)$$

จากสมการที่ (3-13) ถึง (3-15) จะเห็นได้ว่า เมื่อวงจรทำหน้าที่เป็นวงจรชัมมิต์ทริกเกอร์แบบทวนเข็มนาฬิกา ขนาดของสัญญาณเอาต์พุต กระแสขีดเริ่มค้านสูงและต่ำสามารถควบคุมได้ด้วยวิธีทางอิเล็กทรอนิกส์ โดยขนาดของสัญญาณเอาต์พุตสามารถปรับได้ด้วย I_{B2} ส่วนกระแสขีดเริ่มค้านสูงและต่ำสามารถปรับได้ด้วย I_{B3} และภาพที่ 3-4 แสดงลักษณะสมบัติถ่ายโอนของวงจรชัมมิต์ทริกเกอร์แบบทวนเข็มนาฬิกา



ภาพที่ 3-4 กราฟลักษณะสมบัติถ่ายโอนของวงจรชัมมิต์ทริกเกอร์แบบทวนเข็มนาฬิกา

3.3 การวิเคราะห์สมรรถนะของวงจรชัมมิต์ทริกเกอร์ที่ใช้ MO-CCCDTA กรณีไม่เป็นอุดมคติ

ในการปฏิบัติแล้ว MO-CCCDTA ที่นำมาใช้ในการออกแบบวงจรจำลองอุปกรณ์ มีความเป็นไปได้ที่จะทำงานโดยไม่เป็นอุดมคติ ทั้งนี้เกิดจากค่าอุปกรณ์ความต้านทานและค่าความจุแฝง ที่

อยู่ภายในทรานซิสเตอร์ที่นำมาสร้างเป็นอุปกรณ์แอดกีฟและความสามารถการส่งผ่านกระแสของวงจรจะห้อนกระแส ในหัวข้อนี้จะวิเคราะห์ถึงผลกระทบของความไม่เป็นอุคณคติเหล่านี้ที่มีต่อวงจรที่ได้ออกแบบไว้ในหัวข้อ 3.1 ที่ผ่านมา

ในกรณีที่ไม่เป็นอุคณคติสามารถแสดงคุณสมบัติของ MO-CCCDTA ที่ทำงานอยู่ในสภาวะอื่นๆ ได้เป็น

$$\begin{bmatrix} V_p \\ V_n \\ I_z \\ I_x \\ I_{-x} \end{bmatrix} = \begin{bmatrix} R_p & 0 & 0 & 0 & 0 \\ 0 & R_n & 0 & 0 & 0 \\ \alpha_p & -\alpha_n & 0 & 0 & 0 \\ 0 & 0 & 0 & \beta_x & 0 \\ 0 & 0 & 0 & 0 & \beta_{-x} \end{bmatrix} \begin{bmatrix} I_p \\ I_n \\ V_x \\ I_{B2} \\ I_{B3} \end{bmatrix} \quad (3-16)$$

และ

$$v_z = \begin{cases} \gamma V_{CC} & \text{if } i_p \geq i_n \\ \gamma V_{EE} & \text{if } i_p \leq i_n \end{cases} \quad (3-17)$$

เมื่อ α_p , α_n , γ , β_x และ β_{-x} เป็นค่าส่างผ่านที่สามารถเบี่ยงเบนไปจากหนึ่ง เมื่อคำนึงถึงความไม่เป็นอุคณคติเหล่านี้ สามารถหากระแสขีดเริ่มด้านสูง ด้านต่ำและกระแสเอาต์พุตในภาพที่ 3-2 กรณีวงจรทำหน้าที่เป็นวงจรชัมมิตต์ทริกเกอร์แบบตามเข็มนาฬิกา

$$I_{TH} = \beta_{-x} I_{B3} \quad (3-18)$$

$$I_{TL} = -\beta_{-x} I_{B3} \quad (3-19)$$

และ

$$i_{out} = \begin{cases} -\beta_x I_{B2} & \text{if } i_m \geq I_{TH} \\ \beta_x I_{B2} & \text{if } i_m \leq I_{TL} \end{cases} \quad (3-20)$$

กรณีวงจรทำหน้าที่เป็นวงจรนิตต์ทริกเกอร์แบบทวนเข็มนาฬิกา

$$I_{TH} = \beta_{-x} I_{B3} \quad (3-21)$$

$$I_{TL} = -\beta_{-x} I_{B3} \quad (3-22)$$

และ

$$i_{out} = \begin{cases} \beta_x I_{B2} & \text{if } i_m \geq I_{TH} \\ -\beta_x I_{B2} & \text{if } i_m \leq I_{TL} \end{cases} \quad (3-23)$$

จากสมการที่ (3-18) – (3-23) พบว่า เมื่อคำนึงถึงในกรณีไม่เป็นอุดมคติ $\alpha_p, \alpha_n, \gamma, \beta_x$ และ β_{-x} จะมีผลต่อขนาดสัญญาณเอาต์พุต กระแสขีดเริ่มต้านสูงและต่ำ โดย $\alpha_p, \alpha_n, \gamma, \beta_x$ และ β_{-x} เป็นผลมาจากการความจุและความต้านทานแฟรงก์ในตัว MO-CCCDTA และความสามารถในการส่งผ่านกระแสของวงจรสะท้อนกระแส ซึ่งจะมีผลต่อการทำงานของวงจร เมื่อความถี่และอุณหภูมิสูงขึ้น ดังนั้นเพื่อลดผลกระทบดังกล่าวอุปกรณ์แยกทีฟที่นำมาใช้ออกแบบวงจรควรที่จะออกแบบให้มีคุณสมบัติใกล้เคียงอุดมคติมากที่สุด เช่น ใช้วงจรสะท้อนกระแสที่เป็นเทคโนโลยี mosfet ซึ่งมีกระแสออกต่ำกว่าเป็นต้น

3.4 การประยุกต์ใช้งานของวงจรนิตต์ทริกเกอร์ที่ใช้ MO-CCCDTA

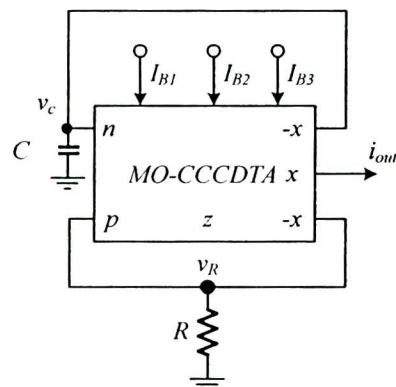
ในหัวข้อนี้ เป็นการนำเอาวงจรนิตต์ทริกเกอร์ที่ใช้ MO-CCCDTA ที่ออกแบบมาประยุกต์ใช้งานในวงจรต่างๆ เพื่อจะได้แสดงถึงสมรรถนะของวงจรนี้

3.4.1 วงจรกำเนิดสัญญาณสี่เหลี่ยมโหนดรูปคลื่น (Current-mode Square-wave Generator)

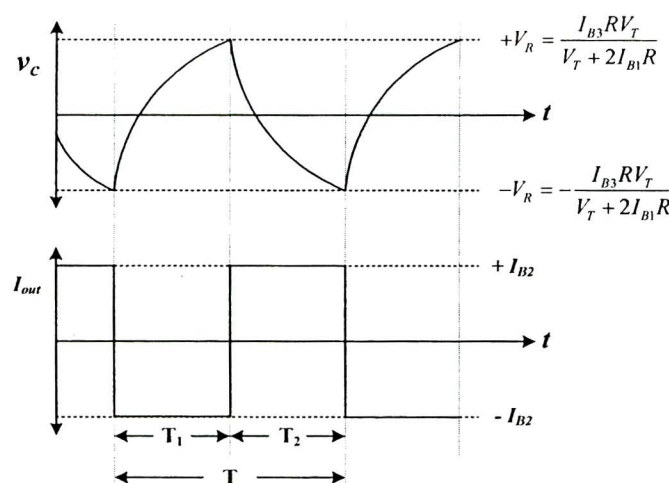
ภาพที่ 3-5 (ก) แสดงวงจรกำเนิดสัญญาณสี่เหลี่ยมที่ใช้ MO-CCCDTA วงจรประกอบด้วย MO-CCCDTA ตัวต้านทานต่อลกราวน์ดและตัวเก็บประจุต่อลกราวน์ดอย่างละ 1 ตัว เมื่อ I_{B1}, I_{B2} และ I_{B3} เป็นกระแสไฟเบสของ MO-CCCDTA และวงจรจะให้สัญญาณต่างๆ แสดงดังภาพที่ 3-5 (ข)

โดยทั่วไปแล้วขนาดของสัญญาณเอาต์พุตมีความเป็นไปได้อยู่สองค่าคือ I_{B2} และ $-I_{B2}$ ในที่นี้กำหนดให้สภาวะเริ่มต้นให้มีขนาดเท่ากับ $-I_{B2}$ ในขณะนั้นกระแสที่ข้าม $-x$ มีค่าเป็น I_{B3}

ส่งผลให้ตัวเก็บประจุ C เริ่มเก็บประจุ ทำให้เกิดแรงดันตกคร่อมตัวเก็บประจุ v_c ที่เพิ่มขึ้น ขณะนั้น ขนาดของสัญญาณเอาต์พุตยังคงเท่ากับ $-I_{B2}$ จนกระทั่ง v_c มีค่ามากกว่าแรงดันที่ตอกคร่อมที่ขั้ว p (v_R) ขนาดของสัญญาณเอาต์พุตจะเปลี่ยนสภาพจาก $-I_{B2}$ เป็น I_{B2} และในเวลานั้น ขนาดของกระแสที่ขั้ว $x-$ ก็จะเปลี่ยนสภาพจาก I_{B3} เป็น $-I_{B3}$ เช่นกัน ในเวลานั้นตัวเก็บประจุจะหายประจุออกมานะและทำให้ v_c มีค่าเริ่มลดลงจนกระทั่ง v_c มีค่าน้อยกว่า v_R ขนาดของสัญญาณเอาต์พุตจะเปลี่ยนสภาพเป็น $-I_{B2}$ อีกครั้ง



(ก) รายละเอียดของวงจร



(ข) รูปคลื่นของวงจร

ภาพที่ 3-5 วงจรกำเนิดสัญญาณสี่เหลี่ยมโดยมดกระแส

จากการวิเคราะห์วงจรและใช้คุณสมบัติของ MO-CCCDTA ที่ทำงานในสภาพอิ่มตัว จะได้ขึ้นภาคของสัญญาณกระแสเอาต์พุตดังนี้

$$i_{out(p-p)} = 2I_{B2} \quad (3-24)$$

พิจารณาความเวลาทางซีกลบของสัญญาณสี่เหลี่ยม (T_1) หากค่าได้ดังนี้

$$T_1 = R_n C \int_{-V_R}^{+V_R} \frac{1}{R_n I_{B3} - v_c} dv_c = \frac{V_R C}{2I_{B1}} \ln \frac{V_T + 4I_{B1}R}{V_T} \quad (3-25)$$

ในทางอุดมคติแล้วความเวลาทางซีกลบ (T_1) ของสัญญาณสี่เหลี่ยมเท่ากับซีกวง (T_2) ดังนั้น ความเวลาและความถี่ของสัญญาณสี่เหลี่ยมหากได้จาก

$$T = 2T_1 = \frac{V_R C}{I_{B1}} \ln \frac{V_T + 4I_{B1}R}{V_T} \quad (3-26)$$

และ

$$f = \frac{1}{T} = \frac{I_{B1}}{C V_R \ln \left(\frac{V_T + 4I_{B1}R}{V_T} \right)} \quad (3-27)$$

จากสมการที่ (3-24) และ (3-27) แสดงให้เห็นว่า ค่าความถี่และขนาดของสัญญาณเอาต์พุตสามารถควบคุมอย่างอิสระจากกัน โดยความถี่สามารถควบคุมที่กระแส I_{B1} ส่วนขนาดของสัญญาณเอาต์พุตสามารถควบคุมได้ที่ I_{B2}

โดยทั่วไปแล้ว MO-CCCDTA มีค่าความจุแฟงอยู่ภายในตัว จะส่งผลต่อค่าหน่วงเวลาในการสวิตช์ (Switching time delay) (Siripruchyannun and Wardkein, 2003) ซึ่งมีผลต่อความถี่ของวงจรในความเป็นจริงแล้วค่าความถี่ของวงจรจะหาได้จาก

$$f_{\text{accurate}} = \frac{1}{T_{\text{desired}} + t_{\text{delay}}} \quad (3-28)$$

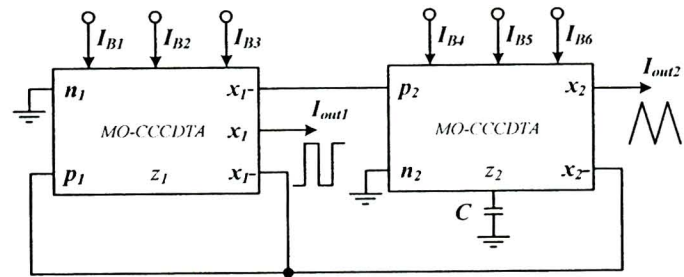
เมื่อ T_{desired} และ t_{delay} คือค่าความเวลาที่คาดการณ์ในการกำหนดสัญญาณความถี่และค่าหน่วงเวลาในการสวิตช์ตามลำดับ

จากผลการจำลองการทำงานด้วยโปรแกรม Pspice ค่าหน่วงเวลาในการสวิตช์ของมีค่าประมาณ 152ns การกำหนดสัญญาณสี่เหลี่ยมในความถี่ต่ำ ค่า T_{desired} มีค่าสูงกว่า t_{delay} มาก เช่น ในกำหนดสัญญาณความถี่ 1kHz ค่า $T_{\text{desired}} = 1\text{ms}$ ซึ่งค่า t_{delay} คิดเป็น 0.0152% ของ T_{desired} แต่ในทางกลับกัน เมื่อกำนิดสัญญาณความถี่สูง ค่า t_{delay} จะมีค่าใกล้เคียงกับ T_{desired} เช่น วงจรกำหนดสัญญาณความถี่ 5MHz ค่า $T_{\text{desired}} = 200\text{ns}$ และ t_{delay} คิดเป็น 76% ของ T_{desired} ซึ่งสามารถสรุปได้ว่า ค่า t_{delay} จะส่งผลกระทบต่อความถี่ของสัญญาณเอาต์พุตอยู่ตลอดเวลา แต่ที่ความถี่ต่ำ t_{delay} จะทำให้ความถี่ที่ได้จะต่ำกว่าที่ออกแบบ

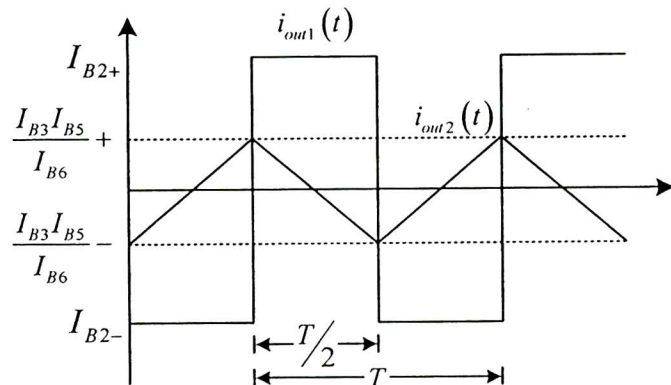
3.4.2 วงจรกำหนดสัญญาณสามเหลี่ยมและสี่เหลี่ยมโหนดกระแส (Current-mode triangle/square wave generator)

วงจรกำหนดสัญญาณสามเหลี่ยมและสี่เหลี่ยมโหนดกระแส มีโครงสร้างของวงจรที่ประกอบด้วย MO-CCCDTA สองตัว ต่อร่วมกับตัวเก็บประจุต่องrationคือหนึ่งตัว ดังแสดงในภาพที่ 3-6

โดยปกตินาคของสัญญาณเอาต์พุตสี่เหลี่ยม (I_{out1}) มีโอกาสมีค่าเท่ากับ $-I_{B2}$ หรือ I_{B2} ในที่นี้ กำหนดสถานะเริ่มต้นให้มีค่าเท่ากับ $-I_{B2}$ ในเวลาเดียวกันกระแสที่ข้าม (I_{x1-}) มีค่าเท่ากับ I_{B3} ดังนั้นตัวเก็บประจุจึงเริ่มเก็บประจุ ส่งผลให้มีแรงดันที่ต่อกคร่อมตัวเก็บประจุ (v_C) โดย v_C เพิ่มขึ้นจาก $-2V_T I_{B3} / I_{B6}$ จนถึง $2V_T I_{B3} / I_{B6}$ เมื่อ v_C มีค่ามากกว่า $2V_T I_{B3} / I_{B6}$ ทำให้นาคของ I_{out1} เปลี่ยนจาก $-I_{B2}$ ไปเป็น I_{B2} และนาค I_{x1-} ก็จะเปลี่ยนสถานะจาก I_{B3} เป็น $-I_{B3}$ เมื่อ ขนาด I_{x1-} มีค่าเท่ากับ $-I_{B3}$ ตัวเก็บประจุก็หายประจุ v_C จะมีขนาดลดลงจนมีค่าต่ำกว่า $-2V_T I_{B3} / I_{B6}$ และ I_{out1} เปลี่ยนจาก I_{B2} ไปเป็น $-I_{B2}$ อีกครั้ง ส่วนสัญญาณสามเหลี่ยมเกิดจาก การเก็บประจุและหายประจุของตัวเก็บประจุนั้นเอง



(ก) รายละเอียดของวงจร



(ข) รูปคลื่นของวงจร

ภาพที่ 3-6 วงจรกำเนิดสัญญาณสามเหลี่ยมและสี่เหลี่ยม โหนดกระแส

ขนาดสัญญาณเอาต์พุตสี่เหลี่ยมและสามเหลี่ยมสามารถหาค่าได้จาก

$$I_{out1} = I_{B2} \quad (3-29)$$

และ

$$I_{out2} = \frac{I_{B3}I_{B5}}{I_{B6}} \quad (3-30)$$

ค่าความเวลาและความถี่ของวงจรหาค่าได้ดังนี้

$$T = 2 \int_{-I_{B3}/g_{m4}}^{I_{B3}/g_{m4}} \frac{C}{I_{B3}} dv_c = \frac{8CV_T}{I_{B6}} \quad (3-31)$$

และ $f = \frac{1}{T} = \frac{I_{B6}}{8CV_T}$ (3-32)

จากสมการที่ (3-29) ถึง (3-32) จะเห็นได้ว่าการควบคุมขนาดและความถี่สามารถควบคุมได้เป็นอิสระจากกัน โดยขนาดของสัญญาณสีเหลืองและสามเหลี่ยมสามารถควบคุมได้ด้วย I_{B2} และ I_{B5} ตามลำดับ และความถี่สามารถควบคุมได้ด้วย I_{B6}

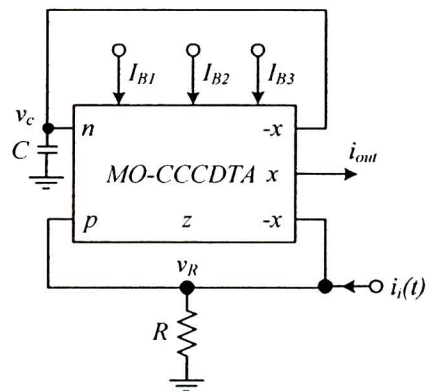
3.4.3 วงจรmodulator ความกว้างพัลส์โหมดกระแส (Current-mode pulse width modulator)

การประยุกต์ใช้งานที่สามคือ วงจรmodulator ความกว้างพัลส์ โครงสร้างของวงจรmodulator ความกว้างพัลส์โหมดกระแสแสดงดังภาพที่ 3-7 ซึ่งประกอบไปด้วย MO-CCCDTA จำนวนหนึ่งตัว ต่อร่วมกับตัวเก็บประจุที่ต่อลงกราวน์ดและตัวต้านทานต่อลงกราวน์ดอีกอย่างละหนึ่งตัว โดยที่ I_{B1}, I_{B2} และ I_{B3} เป็นกระแสไฟแอดสหอง MO-CCCDTA หลักการทำงานของวงจร PWM จะคล้ายกับวงจรกำเนิดสัญญาณสีเหลืองที่กล่าวมาแล้วในหัวข้อ 3.4.1 แต่ว่าจนนี้จะมีสัญญาณข่าวสาร $i_i(t)$ มารวมกับกระแสที่ข้าม $-x$ ที่ป้อนกลับไปที่ข้าม p จึงส่งผลต่อขนาดแรงดันที่ตอกคร่องที่ข้าม p (v_R) ซึ่ง $i_i(t)$ นี้จะมีผลต่อความถี่และค่าดิจิต์ไซเกลของวงจรด้วย นอกจากนี้ใช้หลักการคล้ายกับวงจรกำเนิดสัญญาณสีเหลือง เมื่อพิจารณาขนาดของสัญญาณแรงดันเอ่าต์พูต ค่าเวลาทางซีกวน (T_1) และค่าเวลาทางซีกวน (T_2) ได้จาก

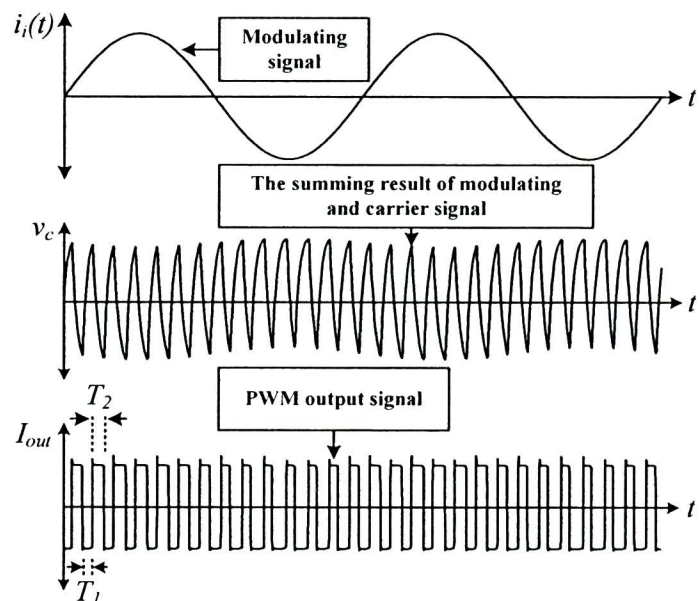
$$i_{out(p-p)} = 2I_{B2} \quad (3-33)$$

$$T_1 = R_n C \int_{-v_R}^{+v_R} \frac{1}{R_n I_{B3} - v_c} dv_c = \frac{V_T C}{2I_{B1}} \ln \left[\frac{4I_{B1}I_{B3}R}{I_{B3}V_T - 2I_{B1}Ri_i(t)} + 1 \right] \quad (3-34)$$

และ $T_2 = -R_n C \int_{+v_R}^{-v_R} \frac{1}{R_n I_{B3} + v_c} dv_c = \frac{V_T C}{2I_{B1}} \ln \left[\frac{4I_{B1}I_{B3}R}{I_{B3}V_T + 2I_{B1}Ri_i(t)} + 1 \right]$ (3-35)



(ก) รายละเอียดของวงจร



(ข) รูปคลื่นของวงจร

ภาพที่ 3-7 วงจรmodulator ความกว้างพัลส์ใหม่กระแส

หากหลักการของอนุกรมเทยกซึ่งสามารถอธิบายได้จากการสมการ

$$\ln(x+1) = x - \frac{x^2}{2} + \frac{x^3}{3} + \dots \quad (3-36)$$

เมื่อใช้การประมาณค่าอันดับที่หนึ่งของอนุกรมเทย์เลอร์กับสมการที่ (3-34) และ (3-35) จะได้ค่าดังนี้

$$T_1 \approx \frac{2I_{B3}V_T RC}{I_{B3}V_T - 2I_{B1}Ri_i(t)} \quad (3-37)$$

$$T_2 \approx \frac{2I_{B3}V_T RC}{I_{B3}V_T + 2I_{B1}Ri_i(t)} \quad (3-38)$$

จากสมการที่ (3-37) และ (3-38) ค่าความเวลาหาค่าได้จาก

$$T = T_1 + T_2 = \frac{4I_{B3}^2 V_T^2 CR}{I_{B3}^2 V_T^2 - 4I_{B1}^2 R^2 i_i^2(t)} \quad (3-39)$$

จากสมการที่ (3-37) และ (3-39) ค่าดิวตี้ไซเกล (Duty cycle) มีค่าดังนี้

$$D = \frac{I_{B3}V_T + 2I_{B1}Ri_i(t)}{2I_{B3}V_T} \times 100\% \quad (3-40)$$

จากสมการที่ (3-33) จะเห็นได้ว่าขนาดของสัญญาณเอาต์พุตสามารถควบคุมได้ด้วยกระแสไบแอดส์ I_{B2} และเมื่อพิจารณาที่สมการที่ (3-40) จะเห็นได้ว่า ค่าดิวตี้ไซเกลของสัญญาณเอาต์พุตเปลี่ยนแปลงไปตามขนาดของสัญญาณข่าวสาร $i_i(t)$ และถ้าขนาดของ $i_i(t)$ มีค่าเท่ากับศูนย์ ค่าดิวตี้ไซเกลจะมีค่าเท่ากับ 50% ซึ่งเป็นลักษณะทางเอาต์พุตของวงจร monocell ความกว้างพัลส์โดยทั่วไป เนื่องจากสมการที่ (3-37) และ (3-38) เป็นสมการที่ได้จากการประมาณค่าอันดับที่หนึ่งของ $\ln(x+1)$ จึงทำให้มีความแม่นยำต่ำ เพื่อให้ได้ความแม่นยำสูงขึ้น จึงทำการประมาณค่าในอันดับที่สาม ซึ่งได้ค่าความเวลาและดิวตี้ไซเกลมีค่าดังนี้

$$T = \frac{2RCV_T I_{B3}}{\left[I_{B3}V_T - 2I_{B1}Ri_i(t) \right]} \left\{ 1 - \frac{4RI_{B1}I_{B3}}{2\left[I_{B3}V_T - 2I_{B1}Ri_i(t) \right]} + \frac{(4RI_{B1}I_{B3})^2}{3\left[I_{B3}V_T - 2I_{B1}Ri_i(t) \right]^2} \right\} + \frac{2V_T RCI_{B3}}{I_{B3}V_T + 2I_{B1}Ri_i(t)} \left\{ 1 - \frac{(4I_{B1}I_{B3}R)}{2\left[I_{B3}V_T + 2I_{B1}Ri_i(t) \right]} + \frac{(4I_{B1}I_{B3}R)^2}{3\left[I_{B3}V_T + 2I_{B1}Ri_i(t) \right]^2} \right\} \quad (3-41)$$

$$\text{และ } D = \frac{6\left[I_{B3}V_T - 2I_{B1}Ri_i(t) \right]\left\{ I_{B3}V_T - 2I_{B1}Ri_i(t) - 2RI_{B1}I_{B3} \right\} + 32(RI_{B1}I_{B3})^2}{\left\{ 6\left[I_{B3}V_T - 2I_{B1}Ri_i(t) \right]\left\{ I_{B3}V_T - 2I_{B1}Ri_i(t) - 2RI_{B1}I_{B3} \right\} + 32(RI_{B1}I_{B3})^2 \right\}} \quad (3-42)$$

$$\left. \left\{ + \frac{6\left[I_{B3}V_T - 2I_{B1}Ri_i(t) \right]^3}{\left[I_{B3}V_T + 2I_{B1}Ri_i(t) \right]}\left\{ 1 - \frac{2I_{B1}I_{B3}R}{\left[I_{B3}V_T + 2I_{B1}Ri_i(t) \right]} \right. \right. \right. \\ \left. \left. \left. + \frac{(4I_{B1}I_{B3}R)^2}{3\left[I_{B3}V_T + 2I_{B1}Ri_i(t) \right]^2} \right\} \right\}$$

สมการของสัญญาณ PWM สามารถแสดงได้ดังนี้

$$i_{PWM}(t) = \frac{I_{B2}i_i(t)}{T} + \frac{I_{B2}}{\pi} \sum_{n=1}^{\infty} \left\{ \frac{\sin(n\omega_o t)}{n} - \frac{\sin\{n\omega_o [t - ki_i(t)]\}}{n} \right\} \quad (3-43)$$

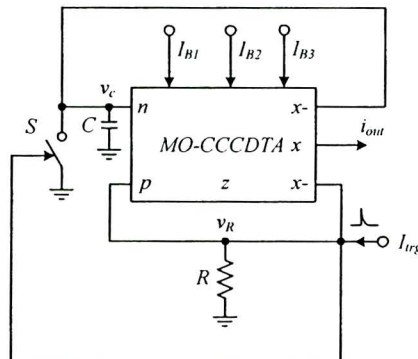
จากสมการที่ (3-34) พบร่วมกันว่า สัญญาณ PWM นั้นมีส่วนประกอบอยู่สองส่วนใหญ่ๆ คือ ประกอบด้วย สัญญาณข่าวสารที่ถูกสเกลด้วย $\frac{I_{B2}}{T}$ อยู่ที่ความถี่ต่ำ และอีกส่วนคือ ส่วนประกอบของความถี่สูงซึ่งประกอบด้วยสัญญาณพาห์และสัญญาณมอคูลเตชิงเฟส และมีขนาดลดหลั่นกันไปตามค่าของ n

3.4.4 วงจร โนโนนิสเตเบิลเมล็ดติไวน์เบรเตอร์ โหนดกระแส (Current-mode monostable multivibrator)

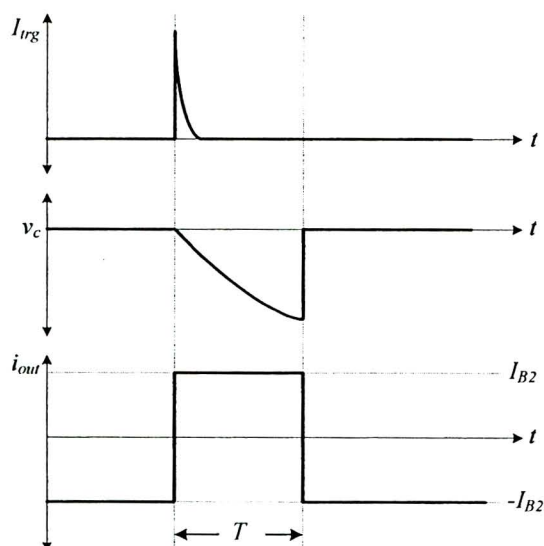
โครงสร้างของวงจรและรูปคลื่นที่จุดต่างๆ ของวงจรประกอบด้วยพัลส์โหนดกระแส แสดงดังภาพที่ 3-8 ซึ่งประกอบไปด้วย MO-CCCDTA จำนวนหนึ่งตัว ต่อร่วมกับตัวเก็บประจุที่ต่อลงกราวน์ดและตัวต้านทานต่อลงกราวน์ดอีกอย่างละหนึ่งตัว โดยที่ I_{B1} , I_{B2} และ I_{B3} เป็นกระแสไฟแอดสของ MO-CCCDTA

หลักการทำงานของวงจร โนโนนิสเตเบิลเมล็ดติไวน์เบรเตอร์มีดังนี้ สภาพเริ่มต้นสวิตซ์ S อยู่ที่ภาวะปิดวงจร โดยวงจรจะเริ่มทำงานเมื่อได้รับสัญญาณกระแสตื้นของขาขึ้น (I_{trg}) ดังแสดงในภาพ

ที่ 3-8 ทำให้แรงดันที่ขั้ว n ต่ำกว่าแรงดันที่ขั้ว p ส่งผลให้ขนาดของกระแสเอาต์พุตมีค่าเท่ากับ I_{B2} ขณะนั้นกระแสที่ขั้ว $-x$ จะมีค่าเป็น $-I_{B3}$ ทำให้ v_R มีค่าเป็นลบ สวิตช์ S จึงเปิดวงจรและตัวเก็บประจุ C เริ่มเก็บประจุ แรงดันตกคร่อม C (v_c) จึงมีค่าเพิ่มขึ้นในทางลบเรื่อยๆ จนกระทั่งมีค่าต่ำกว่า v_R ในเวลานั้นขนาดของกระแสเอาต์พุตเปลี่ยนสภาวะจาก I_{B2} เป็น $-I_{B2}$ และกระแสที่ขั้ว $-x$ ก็จะเปลี่ยนสภาวะจาก $-I_{B3}$ เป็น I_{B3} เช่นกัน v_R จึงมีค่าเป็นบวก ดังนั้นสวิตช์ S ทำการปิดวงจร ทำให้ตัวเก็บประจุ C เกิดการขายประจุลงกราวน์คือย่างรวดเร็ว และวงจรจะเข้าสู่สภาวะคงตัวอีกครั้ง



(ก) รายละเอียดของวงจร



(ข) รูปคลื่นของวงจร

ภาพที่ 3-8 วงจรโนโนสเตเบิลแมตติไวน์เบรเตอร์โนมดกระแส

จากคุณสมบัติของ MO-CCCDTA ที่ทำงานในสภาวะอิมตัว ดังนั้นจะได้ขนาดของสัญญาณ
กระแสเอาต์พุตดังนี้

$$i_{out(p-p)} = 2I_{B2} \quad (3-44)$$

และค่าเวลาหาค่าได้ดังนี้

$$T = R_n C \int_0^{-v_R} \frac{1}{R_n I_{B3} - v_c} dv_c = \frac{V_T C}{2I_{B1}} \ln \left(\frac{4I_{B1}R + V_T}{2I_{B1}R + V_T} \right) \quad (3-45)$$

จากสมการที่ (3-44) และ (3-45) จะเห็นได้ว่า ขนาดของสัญญาณเอาต์พุตและค่าเวลาสามารถ
ควบคุมได้ด้วยวิธีทางอิเล็กทรอนิกส์โดยควบคุมค่ากระแสในแอดส์ I_{B2} และ I_{B1} ตามลำดับ

3.5 สรุป

ในบทนี้ได้กล่าวถึงคุณสมบัติและเงื่อนไขของ MO-CCCDTA ที่ทำงานในสภาวะอิมตัว และได้
สังเคราะห์ว่าจะชนิดต์ทริกเกอร์ที่ทำหน้าที่ได้แบบทวนเข็มและตามเข็มนาฬิกา ได้ในโครงสร้าง
เดียวกัน อีกทั้งสามารถควบคุมขนาดและกระแสจีดีริมของสัญญาณเอาต์พุตได้ด้วยกระแสในแอดส์
ได้อย่างอิสระจากกัน ซึ่งได้อธิบายการทำงานของวงจรในอุดมคติและการวิเคราะห์สมรรถนะของ
วงจร เมื่ออุปกรณ์ในวงจรทำงานไม่เป็นไปตามอุดมคติ นอกจากนี้ยังได้สังเคราะห์ว่าจะประยุกต์ใช้
งาน ได้แก่ วงจรกำเนิดสัญญาณสี่เหลี่ยม วงจรmodulator ความกว้างพัลส์ และวงจรโนนิสเตเบิลแมตติ
ไวน์เบรเตอร์ ซึ่งแต่ละวงจรประกอบด้วย MO-CCCDTA เพียงหนึ่งตัว ต่อร่วมกับตัวเก็บประจุที่ต่อ
ลงกราวน์ด์และตัวต้านทานที่ต่อลงกราวน์ดอย่างลักษณะนี้ ตัว มีเพียงวงจรกำเนิดสัญญาณสามเหลี่ยม
และสี่เหลี่ยม ที่ประกอบด้วย MO-CCCDTA เพียงหนึ่งตัว ต่อร่วมกับตัวเก็บประจุที่ต่อลงกราวน์ด
อีกหนึ่งตัว ส่งผลให้วงจรมีขนาดเล็กไม่ซับซ้อน เหมาะที่จะนำไปสร้างเป็นวงจรรวมหรือต่อใช้งาน
จริง นอกจากนี้ทุกวงจรสามารถควบคุมการทำงานได้ด้วยวิธีทางอิเล็กทรอนิกส์ ทำให้สามารถ
ควบคุมแบบอัตโนมัติ หรือผ่านไมโครคอนโทรลเลอร์ได้โดยง่าย